



دانشگاه آزاد اسلامی
بلوچستان

تحصیلات تکمیلی

پایان نامه کارشناسی ارشد در زمین شناسی اقتصادی

عنوان:

ژئو کافی زایی مس و سرب در کانسار عباس آباد، طارم

سفلی، استان قزوین

استاد راهنما:

دکتر محمد بومردی

اساتید مشاور:

دکتر محمد معانی جو

دکتر مهدی حسینی

تحقیق و نگارش:

محمد مرادی

این پایان نامه از حمایت مالی معاونت پژوهشی دانشگاه سیستان و بلوچستان بهره مند شده است

اردیبهشت ماه ۱۳۹۰



بسمه تعالی

این پایان نامه با عنوان ژنر کانی زایی مس و سرب عباس آباد، طارم سفلی، استان قزوین قسمتی از برنامه آموزشی دوره کارشناسی ارشد زمین شناسی اقتصادی توسط دانشجو محمد مرادی با راهنمایی استاد پایان نامه دکتر محمد بومرد تهیه شده است. استفاده از مطالب آن به منظور اهداف آموزشی با ذکر مرجع و اطلاع کتبی به حوزه تحصیلات تکمیلی دانشگاه سیستان و بلوچستان مجاز می باشد.

محمد مرادی

این پایان نامه واحد درسی شناخته می شود و در تاریخ توسط هیئت داوران بررسی و درجه به آن تعلق گرفت.

نام و نام خانوادگی	استاد راهنما:	استاد مشاور:	استاد مشاور:	داور ۱	داور ۲
دکتر محمد بومرد	دکتر محمد مرادی	دکتر مهدی حسینی	دکتر محمد معانی جو	دکتر ساسان باقری	دکتر حبیب بیابانگرد
دکتر راهنما: دکتر محمد بومرد	دکتر مشاور: دکتر مهدی حسینی	دکتر مشاور: دکتر محمد معانی جو	دکتر داور ۱: دکتر ساسان باقری	دکتر داور ۲: دکتر حبیب بیابانگرد	نماينده تحصيلات تكميلی: مهندس محمد مهران



تعهدنامه اصالت اثر

اینجانب محمد مرادی تعهد می کنم که مطالب مندرج در این پایان نامه حاصل کار پژوهشی اینجانب است و به دستاوردهای پژوهشی دیگران که در این نوشه از آن استفاده شده است مطابق مقررات ارجاع گردیده است. این پایان نامه پیش از این برای احراز هیچ مدرک هم سطح یا بالاتر ارائه نشده است. کلیه حقوق مادی و معنوی این اثر متعلق به دانشگاه سیستان و بلوچستان می باشد.

نام و نام خانوادگی دانشجو: محمد مرادی

امضاء

تقطیع به:

پدر بزرگوارم:

و

مادر عزیزم:

مشعل های فروزان راه زندگیم

آینه های افتادگی، حافظه و پارسالی

که زندگیم برایشان همه نج بودو

وجودشان برایم همه مهر

و تقطیع به همسر عزیزم

سپاسگزاری:

حمد و سپاس بی کران ایزد منان که عقل این ارزنده ترین گوهر خلقت را به انسان بخشید تا قادر باشد با تفکر و اندیشه و جد و جهد رازی از اسرار طبیعت را دریابد.

دروド فراوان بر انبیا و اولیا و وارثان و ادامه دهنگان راه آنها که همانا استادان و معلمان ساعی و بزرگواری که هدایتگر دانشجویانی امثال حقیر بوده اند تا الفبای دانش امروز بشری را بشناسیم اگر چه با برداشتن هر گامی در مسیر طولانی تعلیم و تربیت هزاران دریچه علم و دانش به روی انسان گشوده می شود که حکایت از وسعت دریای بی کران معرفت را دارد.

اینک به حول قوه الهی موفق شدم تا در ابتدای این مسیر طولانی قدم بگذارم بر خود فرض می دانم از خدمات و زحمات صادقانه و خستگی ناپذیر استادان و تمامی معلمان از آن آموزگار فرزانه و زنده دل دبستانی خود گرفته تا آن استاد فرهیخته ای که رنج مطالعه پایان نامه را متحمل شده اند تشکر و قدردانی نمایم. از استاد عزیز و بسیار ارجمند جناب آقای دکتر محمد بومردی که راهنمایی اینجانب را در انجام تحقیق، پژوهش این پایان نامه پدیرفتند، بی نهایت سپاسگزارم.

از جناب آقای دکتر مهدی حسینی از دانشگاه بین المللی امام خمینی(ره) و دکتر محمد معانی جو از دانشگاه بوعلی سینا که مشاورت این پایان نامه را بر عهده داشته اند و راهنمایی هایشان همواره راهگشای کار بوده صمیمانه تشکر می نمایم.

همچنین از جناب آقای دکتر ساسان باقری و دکتر حبیب بیابانگرد که زحمت داوری این پایان نامه را بعهده داشته اند، کمال تشکر و قدردانی را دارم.

از مدیر گروه محترم جناب آقای مهندس محمد مهران که در طول این دوره زحمات زیادی را متقبل شده اند کمال تشکر و قدردانی را دارم.

از مدیریت محترم شرکت طارم سفلی جناب آقای مهدی عربلو و جناب آقای صالحی، همچنین کارشناسان محترم گروه زمین شناسی آقای مهندس قوام پور، مهندس علیرضا گرگیج و خانم یعقوبی و عارف نژاد تشکر و قدردانی می نمایم.

از همه دوستان عزیزم، آقایان امین الله کمالی، محمد فتاح زاده، کاظم بروزی، محمد جواد غلامی، غلامرضا عباس زاده، یاسر پور چنگیز، مجید جمشیدی، مرتضی اس ferm، مجتبی بمانادی، امین فرهمند، هادی شادر، سید مهدی نبوی، جمشید افندی، محمد پاریزی، سیاوش کیمیایی، علی یوسف پور سولا و همچنین خانم ها بولاغی، قلعه نوعی، زینعلی پور، علافر به خاطر همکاری بی دریغ شان، صمیمانه تشکر و قدردانی می نمایم. در پایان از زحمات و بزرگواری های خانواده مهریانم که در تمامی مراحل زندگی و تحصیل همواره پشتیبان و مشوق من بوده اند قدر دانی نموده و از خداوند متعال توفیق جبران این زحمات را مسئلت دارم.

چکیده

کانسار سرب و مس عباس آباد در ۱۳۵ کیلومتری شمال باختری قزوین در زون طارم از البرز باختری واقع شده است. زمین‌شناسی منطقه شامل توالی ضخیمی از سنگ‌های آتشفسنایی و آذراواری ائوسن است. از تمام واحدهای سنگی منطقه نمونه برداشت شد و از نظر پتروگرافی و ژئوشیمی مورد مطالعه قرار گرفت. این سنگها شامل الیوین بازلت، بازالت، آندزیتی و انواع توفها است. گدازه‌ها عمدها دارای پلاژیوکلаз، الیوین و پپروکسن می‌باشند. سنگ‌های آتشفسنایی از لحاظ زمین‌شیمی متعلق به سری‌های ماغمایی آکالن و کالک-آکالن بوده که حاکی از جایگاه تکتونیکی حاشیه قاره‌ای می‌باشند. کائیزایی در بازالت و بازالت آندزیتی به دو شکل رگه‌ای و حفره‌ای رخ داده است. اگرچه اکثر سنگ‌های ناحیه عباس آباد دچار دگرسانی بروپولیتیک، و سرپاتینی شده‌اند ولی دگرسانی در اطراف رگه‌ها شدیدتر و به طور فراگیر دچار دگرسانی‌های سیلیسی، سریستی و آرژیلیک گردیده‌اند.

رگه‌های معدنی در ناحیه عباس آباد متعدد بوده و طول آنها از ۱۰ تا ۲۵۰ متر و ضخامت از ۱/۰ تا ۱ متر متغیر است. این رگه‌ها دارای امتداد باختری- خاوری و دارای شیب نزدیک به قائم است. نمونه‌های برداشت شده از این رگه‌ها با میکروسکوپ نوری پلاریزه، XRD، EPMA، ICP و برسی واقع شده است. کانی‌سازی در رگه‌ها عمدها اولیه بوده و شامل پیریت، کالکوپیریت، اسفالریت، گالن و به طور فرعی تنانتیت است. در اثر فرآیند سوپرژن، کولیت، گوتیت، سروسیت، لیناریت و مالاکیت، در بخش‌های سطحی تشکیل شده‌اند. نسبت Bi/Sb در کانی‌های کالکوپیریت، گالن و اسفالریت برابر با ۱۳۵۰ برآورد می‌شود که نشان دهنده منشا گرمابی است. FeS در اسفالریت‌ها برابر با ۶/۰ درصد است، که نشان دهنده تشکیل اسفالریت در دمای پایین است. همچنین با استفاده از دیاگرام‌های پایداری و مقدار آهن اسفالریت، دمای ۲۵۰ درجه سانتیگراد به دست آمد. از پاراژنز کانی زایی رگه‌ای و مقایسه ترکیب شیمیایی کانی‌های سولفیدی در ناحیه عباس آباد با کانسارهای مشابه در سایر مناطق ایران و جهان نتیجه گرفته می‌شود که کانی زایی رگه‌ای در ناحیه عباس آباد دارای منشاء گرمابی کم دما و از نوع سولفیداسیون پایین می‌باشد.

کانی زایی حفره‌ای نیز در سنگ‌های بازالتی و آندزیتی ائوسن صورت گرفته است. این سنگ‌ها دچار دگرسانی‌های پروپولیتیک و سریستی شده‌اند. علاوه بر این، بلورهایی از رئولیت (لومونتیت، ناترولیت) نیز در حفره‌های سنگ‌های بازالتی تشکیل شده است. در کانی زایی حفره‌ای مس خالص همراه با مالاکیت، کوپیریت و کریزوکوولا و گاهی آزوریت تشکیل شده است. این کانی زایی احتمالاً بعد از کانی زایی رگه‌ای رخ داده است. این احتمال وجود دارد که مس آزاد شده از سنگ‌های میزبان و رگه‌های معدنی به وسیله آبهای بالارونده به سنگ‌های متخلخل و حفره دار رسیده باشد و به علت تغییر فشار در فضاهای خالی رسوب کرده باشند.

فهرست مطالب

	عنوان	
	صفحه	
۱۵.....	فصل اول: کلیات...	
۱۶.....	۱-۱- مقدمه.....	
۱۶.....	۲-۱- موقعیت جغرافیایی.....	
۱۸.....	۳-۱- ویژگی های و ژئومورفولوژی	
۲۰.....	۴-۱- پیشینه مطالعاتی	
۲۱.....	۵-۱- طرح تحقیق	
۲۱.....	۱-۵-۱- تعریف مساله	
۲۲.....	۲-۵-۱- ضرورت انجام تحقیق	
۲۳.....	۳-۵-۱- فرضیات تحقیق	
۲۳.....	۴-۵-۱- اهداف تحقیق	
۲۶.....	۱-۶- روش کار	
۲۶.....	فصل دوم: کانسارهای چند فلزی	
۲۷.....	۱-۲- مقدمه	
۲۷.....	۲-۲- کانسارهای سرب روی	
۲۸.....	۳-۲- کانسارهای رگه ای سرب و روی	
۲۹.....	۴-۲- کانسارهای سرب و روی ماسیو سولفید	
۲۹.....	۴-۲-۱- ماسیو سولفیدهای آتشفشاری	
۲۳.....	۴-۲-۱-۱- ماسیو سولفیدهای نوع کوروکو	
۳۴.....	۴-۱-۲-۱- ماسیو سولفید تیپ قبرس	
۳۵.....	۴-۲-۱-۳- ماسیو سولفید های آرکن	
۳۵.....	۴-۲-۱-۴-۱- ماسیو سولفید بشی	
۳۶.....	۴-۲-۲- ذخایر سرب و روی سدکس (ذخایر رسوبی)	
۳۷.....	۵-۲- کانسارهای چینه سان و چینه کران رسوبی	
۳۷.....	۵-۲-۱- کانسارهای سرب و روی نوع اپیژنیک در سنگ های کربناته	
۳۸.....	۵-۲-۱-۱- کانسارهای سرب و روی نوع ایرلنده	
۳۹.....	۵-۲-۱-۱-۲- کانسارهای سرب و روی همراه سنگ های کربناته یا نوع می سی سی پی	
۴۰.....	۵-۲-۱-۳- کانسارهای سرب و روی نوع جانشینی	
۴۱.....	۵-۲-۱-۴- کانسارهای سرب و روی در اسکارن ها	
۴۱.....	۶-۲- کانسارهای سرب و روی ایران	
۴۳.....	۶-۲-۱- نوار ملایر - اصفهان	
۴۳.....	۶-۲-۲- کانسارهای سرب و روی ایران مرکزی	
۴۳.....	۶-۲-۳- کانسارهای سرب و روی در البرز	

۴۴	- کانسارهای سرب و روی شرق ایران	۴-۶-۲
۴۴	- کانسارهای سرب و روی زون کوبر- سبزوار.....	۵-۶-۲
۴۵	- کانسارهای سرب و روی منطقه حد واسط ایران مرکزی- سنندج سیبرجان.....	۶-۶-۲
۴۵	- ژئوشیمی مس.....	۷-۲
۴۵	- کانه های مس.....	۱-۷-۲
۴۷	- کانسارهای مس.....	۸-۲
۴۷	- کانسارهای مس پورفیری همراه با توده های نفوذی حد واسط تا فلسيک.....	۱-۸-۲
۴۸	- کانسارهای مس همراه با توده های آذرین مافيك.....	۲-۸-۲
۴۹	- کانسارهای مس رسوبی.....	۳-۸-۲
۴۹	- کانسارهای مس اسکارنی.....	۴-۸-۲
۵۰	- کانسارهای مس همراه با ولکانیسم زیر دریایي.....	۵-۸-۲
۵۱	- کانسارهای مس همراه با ولکانیسم خشکي.....	۶-۸-۲
۵۱	- کانسارهای رگه ای کردیلرایي.....	۷-۸-۲
۵۲	- کانسارهای مس گرمابي.....	۸-۸-۲
۵۳	- مس در ايران.....	۹-۲
۵۴	- کمربند فلز زايي طارم- هشتजين.....	۱۰-۲
۵۸	فصل سوم زمين شناسی	
۵۹	- ۱- مقدمه.....	۱-۳
۶۰	- ۲- واحد های ساختاري ايران.....	۲-۳
۶۲	- ۳- جغرافياي ديرينه البرز.....	۳
۶۳	- ۱-۳- دوران پالئوزوبيک، زايش نئو تنيس كهن.....	۳-۳
۶۵	- ۲-۳- دوران مژوزوبيک، زايش نئو تنيس.....	۳-۳
۶۸	- ۴- البرز مرکزي.....	۴-۳
۶۸	- ۱-۴- چينه شناسی کلي البرز مرکزي.....	۴-۳
۶۹	- ۲-۴- زمين ساخت البرز مرکزي.....	۴-۳
۷۱	- ۵- البرز باختري- آذربایجان.....	۳
۷۴	- ۱-۵- زمين شناسی طارم.....	۳
۷۹	- ۶- زمين شناسی کانسار عباس آباد.....	۳
۸۸	- ۷- تکتونيك منطقه مورد مطالعه.....	۳
۸۹	- ۱-۷- بررسی و تحليل آماری درزه ها، گسل ها و رگه ها	۳
۹۳	فصل چهار: پتروگرافی، ژئوشیمی و دگرسانی سنگهای آتشفسانی	
۹۶	- ۱-۴- مقدمه.....	۴
۹۶	- ۲- گدازه ها.....	۴
۹۶	- ۱-۲- اليوين بازالت.....	۴
۱۰۲	- ۲-۲- بازالت.....	۴
۱۰۵	- ۳-۲- آندزیت.....	۴
۱۰۸	- ۴-۲- آندزی بازالت.....	۴

۱۱۲.....	سنجهای آذرآواری	۳-۴
۹۸.....	توف	۱-۳-۴
۱۱۵.....	ژئوشیمی سنگ های آتشفشاری	۴
۱۱۷.....	رد بندی ژئوشیمیابی	۴
۱۱۷.....	رد بندی سنگ های آتشفشاری	۴
۱۱۹.....	سری ماقمایی	۴
۱۲۰.....	نمودارهای تعیین محیط تکتونیکی	۴
۱۲۴.....	تغییرات عناصر در طی دگرسانی	۴
۱۳۰.....	دگرسانی	۴
۱۳۱.....	دگرسانی سریستیک	۴
۱۳۶.....	دگرسانی پروپلیتیک	۲
۱۴۰.....	دگرسانی سیلیسی	۴
۱۴۲.....	دگرسانی آژیلیک	۴
۱۴۶.....	دگرسانی کربناتی	۴
۱۴۹.....	فصل پنجم: کانی زایی و میثرا لوگرافی	
۱۵۰.....	مقدمه	۵
۱۵۰.....	کانی زایی رگه ای	۵
۱۵۲.....	رگه های نوع اول	۵
۱۵۶.....	گالن	۵
۱۵۶.....	کالکوپیریت	۵
۱۵۸.....	بورنیت	۵
۱۵۹.....	کوولیت	۵
۱۶۰.....	گوتیت	۵
۱۶۱.....	کوارتر	۵
۱۶۲.....	توالی پارازنی	۵
۱۶۳.....	رگه های نوع دوم	۵
۱۶۶.....	گالن	۵
۱۷۰.....	اسفالریت	۵
۱۷۲.....	کالکوپیریت	۵
۱۷۷.....	بورنیت	۵
۱۷۸.....	لیناریت	۵
۱۸۰.....	تنانتیت	۵
۱۸۱.....	پیریت	۵
۱۸۲.....	مالاکیت	۵
۱۸۳.....	کوارتر	۵
۱۸۵.....	باریت	۵
۱۸۵.....	توالی پارازنی رگه های نوع دوم	۵

۱۸۶	۵-۵-کانی زایی حفره ای
۱۸۸	۵-۵-۱- مس خالص
۱۹۰	۵-۵-۲- کوپریت
۱۹۲	۵-۵-۳- ملاکیت
۱۹۴	۵-۵-۴- هیدروکسید آهن
۱۹۴	۵-۵-۵- توالی پارازنی
۱۹۵	۵-۵-۶- مطالعات ریز کاو الکترونی
۱۹۵	۵-۶-۱- گالن
۱۹۹	۵-۶-۲- اسفالریت
۲۰۴	۵-۶-۳- کالکوپیریت
۲۰۷	۵-۶-۴- بورنیت
۲۰۸	۵-۶-۵- تنانتیت
۲۰۹	۵-۶-۶- مس خالص
۲۱۱	۵-۶-۷- کوپریت
۲۱۳	۵-۸-۶-۵- ملاکیت و کریزوکولا
۲۱۵	۵-۹- سروزیت و لیناریت
۲۱۷	۵-۷- تجزیه و تحلیل داده های ژئوشیمیابی
۲۱۸	۵-۱- همبستگی عناصر
۲۲۳	فصل ششم: منشا کانی زایی و نتیجه گیری
۲۲۴	۶-۱- مقدمه
۲۲۹	۶-۲- تراوش جانبی
۲۳۰	۶-۱-۲- مقایسه کانسار عباس آباد با کانسارهای تراوش جانبی
۲۳۰	۶-۳- کانسارهای اپی ترمال
۲۳۳	۶-۴- ۱- ژنز کانسارهای اپی ترمال
۲۳۴	۶-۲- ۳- دگرسانی همراه با کانسارهای اپی ترمال
۲۳۵	۶-۳- ۳- سیستم های گرمابی آتشفشنایی
۲۳۶	۶-۴- ۳- سیستم های ژئوترمال
۲۳۹	۶-۵- ۳- کانسارهای رگه ای کردیلرایی
۲۴۲	۶-۴- بررسی ژنز و مدل احتمالی کانسار عباس آباد
۲۴۳	۶-۵- کانی زایی مس خالص در کانسار عباس آباد
۲۴۳	۶-۱-۵- بررسی کانسار مس خالص عباس آباد
۲۴۷	۶-۶- نتیجه گیری:

فهرست جدول ها

عنوان جداول
صفحه

جدول ۲-۱-ردی بندی کانسارهای ماسیو سولفید(ادوارد و ادکینسون، ۱۹۸۰).....	۱۵
جدول ۲-۲-برخی از کانه های مس به صورت اکسیدی و سولفیدی و نحوه تشکیل آنها.....	۳۲
جدول ۱-۴ - خلاصه ای از مشخصات میکروسکوپی نمونه های مقاطع نازک، به همراه موقعیت جغرافیایی.	۸۱
جدول ۴-۲-نتایج آنالیز XRF از سنگ های آتشفسانی منطقه عباس آباد به همراه موقعیت جغرافیایی.....	۱۰۲
جدول ۳-۴-غنى شدگی و تهی شدگی عناصر نسبت به نمونه غیر هوازده در بازالت های منطقه عباس آباد.....	۱۱۱
جدول ۵-۱-مقایسه رگه های معدنی در کانسار عباس آباد.....	۱۳۷
جدول ۵-۲- ترکیب شیمیایی گالن از رگه های کانه دار در کانسار عباس آباد.....	۱۸۳
جدول ۵-۳- ترکیب شیمیایی اسفالریت از رگه های کانه دار در کانسار عباس آباد.....	۱۸۷
جدول ۵-۴- ترکیب شیمیایی کالکوپیریت از رگه های کانه دار در کانسار عباس آباد.....	۱۹۱
جدول ۵-۵-ترکیب شیمیایی بورنیت از رگه های کانه دار در کانسار عباس آباد.....	۱۹۳
جدول ۵-۶-ترکیب شیمیایی تنانیت از رگه های کانه دار در کانسار عباس آباد.....	۱۹۵
جدول ۵-۷-ترکیب شیمیایی مس خالص در سنگ های آتشفسانی.....	۱۹۶
جدول ۵-۸-نتایج آنالیز EPMA برای کانی کوپریت.....	۱۹۸
جدول ۵-۹-آنالیز EPMA برای کانی های کریزوکولا و مالاکیت.....	۲۰۰
جدول ۵-۱۰-نتایج آنالیز EPMA برای کانی های لیناریت و سروزیت.....	۲۰۲
جدول ۵-۱۱-پارامترهای آماری مربوط به عناصر حاصل از آنالیز در کانسار عباس آباد.....	۲۰۵
جدول ۵-۱۲-همبستگی اسپیرمن بین عناصر اصلی و فرعی.....	۲۰۶
جدول ۶-۱-بلونایف به عنوان نمونه ای از کانسارهای تراوش جانبی.....	۲۱۵
جدول ۶-۲-خصوصیات کانسارهای اپی ترمال.....	۲۱۹
جدول ۶-۳-مقایسه ویژگی کانسار رگه ای چاه مسی با کانسار رگه ای عباس آباد.....	۲۲۳
جدول ۶-۴-مقایسه کانسار عباس آباد با کانسارهای نوع کردیلرایی.....	۲۲۷
جدول ۶-۵-مقایسه کانسار مس خالص عباس آباد(منطقه مورد مطالعه) و دارهند.....	۲۳۲

فهرست شکل ها

عنوان شکل	صفحه
شکل ۱-۱- موقعیت جغرافیایی و راه های دسترسی به کانسار عباس آباد.....	۳
شکل ۱-۲- نمایی از وضعیت توپوگرافی منطقه عباس آباد و کوه نسار.....	۵
شکل ۱-۳- کوه نسار در منطقه عباس آباد و کانسار عباس آباد در فصول بارانی.....	۵
شکل ۲-۱- نمایش زون های مختلف ماسیو سولفیدها	۱۶
شکل ۲-۲- توزیع ذخایر نوع دره ای می سی سی پی و آتشفسانی و سدکس در محدوده‌ی جهانی.....	۲۵
شکل ۲-۳- پراکندگی کانسارهای سرب و روی ایران.....	۲۸
شکل ۲-۴- زون های اصلی کانه زایی مس.....	۳۹
شکل ۲-۵- کمریند کانی زایی مس و سرب در توزیع جهانی عناصر.....	۴۱
شکل ۲-۶- کمریند فلز زایی طارم- هشتچین.....	۴۲
شکل ۲-۷- جایگاه زمین شناسی ایران در کمریند کوه زایی آلپ- هیمالیا.....	۴۶
شکل ۲-۸: پهنه های رسویی- ساختاری عمدۀ ایران.....	۴۷
شکل ۳-۱- مدل شماتیک جغرافیای دیرینه گستره ایران در بازه زمانی پالئوزویک آغازین	۵۰
شکل ۳-۲- مدل جغرافیای دیرینه گستره ایران در بازه‌ی زمانی کرتاسه تا عهد حاضر.....	۵۳
شکل ۳-۳- تقسیم بندی زون های شمال ایران.....	۵۴
شکل ۳-۴- نقشه البرز مرکزی همراه با گسل ها و توده های نفوذی در منطقه.....	۵۶
شکل ۳-۵- نقشه زمین شناسی شمال غرب قزوین.....	۵۹
شکل ۳-۶- نقشه زمین شناسی زون طارم	۶۱
شکل ۳-۷- تصویر چینه شناسی معادل سازند کرج در طارم.....	۶۳
شکل ۳-۸- امتداد عمومی البرز غربی و موقعیت منطقه مورد مطالعه در عکس ماهواره‌ی ای.....	۶۴
شکل ۳-۹- نقشه‌ی زمین شناسی کانسار عباس آباد به همراه رگه‌هایمعدنی.....	۶۶
شکل ۳-۱۰- نمایی از توف های رخمنون یافته در محدوده عباس آباد.....	۶۷
شکل ۳-۱۱- نمایی از واحد Ev1 مربوط به عضو امند سازند کرج در قشلاق عباس آباد.....	۶۸
شکل ۳-۱۲- واحدهای آندزیت بازالتی مربوط به منطقه عباس آباد.....	۶۹
شکل ۳-۱۳- نمایی از سنگ‌های توفی واحد Et3 مربوط به عضو امند در منطقه عباس آباد	۷۰
شکل ۳-۱۴- واحدهای آندزیت بازالتی مربوط به منطقه عباس آباد.....	۷۱
شکل ۳-۱۵- واحد توفی Et2 در منطقه عباس آباد با فرسایش پوست پیازی.....	۷۲
شکل ۳-۱۶- واحد آتشفسانی Ev5 مربوط به عضو آمند در منطقه عباس آباد.....	۷۳
شکل ۳-۱۷- واحد آبرفتی مربوط به عهد حاضر در منطقه عباس آباد.....	۷۴
شکل ۳-۱۸- نمودار گل سرخی مربوط به برداشت صورت گرفته از درزه های مجاور رگه ها.....	۷۶
شکل ۳-۱۹- استفاده از تصاویر پردازش شده ماهواره‌ای Landsat به منظور مشاهده گسل‌های محدوده اکتشافی و مناطق اطراف.....	۷۷
شکل ۳-۲۰- نمودار رز دیاگرام برای گسل های ناحیه ای منطقه طارم.....	۷۸
شکل ۳-۲۱- امتداد عمومی و غالب رگه های کانسار عباس آباد.....	۷۸

شکل ۴-۱- نمونه ی دستی الیوین بازالت که دارای رنگ خاکستری و بافت پورفیری در کانسار عباس آباد.....	۸۲
شکل ۴-۲- الیوین و شدت ایدنگریزیتازیون در نور پلاریزه متقاطع.....	۸۳
شکل ۴-۳- فنوکریست های الیوین در مقطع نازک از بازالت در نور پلن پولار.....	۸۴
شکل ۴-۴- فنوکریست های الیوین در مقطع نازک از الیوین بازالت به سرپانتین تبدیل شده، در نور پلاریزه متقاطع	۸۴
شکل ۴-۵- پلازیوکلаз با بافت ، پوئیکیتیک و پورفیری در نور پلاریزه متقاطع.....	۸۵
شکل ۴-۶- کلینوپیروکسن و بافت گلومروپورفیری در الیوین بازالت های کانسار عباس آباد در نور پلاریزه متقاطع.....	۸۶
شکل ۴-۷- فنوکریست اوژیت در سنگ الیوین بازالت در نور پلاریزه متقاطع.....	۸۷
شکل ۴-۸- فنوکریست اوژیت در سنگ الیوین بازالت در نور پلاریزه متقاطع.....	۸۷
شکل ۴-۹- نمونه ی دستی از بازالت ها با رنگ خاکستری در منطقه ی عباس آباد.....	۸۸
شکل ۴-۱۰- فنوکریست کلینوپیروکسن با ماکل کارلسیاد در سنگ بازالت در نور پلاریزه متقاطع.....	۸۹
شکل ۴-۱۱- فنوکریست های پلازیوکلاز و کلینوپیروکسن با بافت پورفیری در بازالت در نور پلن پولار.....	۹۰
شکل ۴-۱۲- فنوکریست های پلازیوکلاز و کلینوپیروکسن با بافت پورفیری در بازالت در نور پلاریزه متقاطع	۹۰
شکل ۴-۱۳- نمونه ای از ندول های آندزیت با بافت مگاپورفیری در گذاره های آندزیتی.....	۹۱
شکل ۴-۱۴- مقطع نازک از آندزیت و شدت دگرسانی سریسیتی و زئولیتی روی کانی ها، نور پلن پولار.....	۹۲
شکل ۴-۱۵- آندزیت و تاثیر دگرسانی سریسیتی و زئولیتی بر کانی ها، نور پلاریزه متقاطع.....	۹۳
شکل ۴-۱۶- فنوکریست های آمفیبول در مقطع نازک سنگ آندزیت در نور پلاریزه متقاطع.....	۹۴
شکل ۴-۱۷- نمونه دستی آندزیت بازالت با رنگ خاکستری مشخص در کانسار عباس آباد.....	۹۵
شکل ۴-۱۸- فنوکریست های پلازیوکلاز در مقطع نازک سنگ آندزیت بازالت در نور پلاریزه متقاطع.....	۹۶
شکل ۴-۱۹- فنوکریست های کلینوپیروکسن با تجزیه از قسمت های سطحی در آندزیت بازالت و بافت پورفیری در نور پلن پولار.....	۹۷
شکل ۴-۲۰- فنوکریست های پیروکسن در آندزیت بازالت به همراه کانی های اپاک و بافت پورفیری در نور پلاریزه متقاطع.....	۹۸
شکل ۴-۲۱- نمونه دستی از توف های منطقه ی عباس آباد.....	۹۹
شکل ۴-۲۲- نمونه ای از مقطع میکروسکوبی توف در در نور پلاریزه متقاطع.....	۱۰۰
شکل ۴-۲۳- توف با بلورهای پلازیوکلاز و کانی های اپاک در نور کراس پولار.....	۱۰۰
شکل ۴-۲۴- نمودار $\text{Na}_2\text{O} + \text{K}_2\text{O}$ در برابر SiO_2 [لویاس و همکاران، برای رده بندی سنگ های آتشفسانی منطقه.....	۱۰۴
شکل ۴-۲۵- موقعیت نمونه ها در نمودار طبقه بندی سنگ های آتشفسانی منطقه عباس آباد بر اساس نمودار $\text{Zr}/\text{TiO}_2 * 10^{-4}$ [اوینجستر و فلويد، ۱۹۷۷].....	۱۰۵
شکل ۴-۲۶- نمودار مجموع آلکالی($\text{Na}_2\text{O} + \text{K}_2\text{O}$) در مقابل سیلیس، برای سنگ های آتشفسانی منطقه عباس آباد.....	۱۰۶
شکل ۴-۲۷- نمودار $\text{Y}-\text{Zr}-\text{Ti}$ برای تمایز بازالت های صفحه ای از دیگر بازالت ها (Pearce and Cann, 1973).....	۱۰۷
شکل ۴-۲۸- نمودار $\text{Zr}-\text{Sr}/2-\text{Ti}$ برای سنگ های منطقه مورد (پیرس و همکاران، ۱۹۷۳).....	۱۰۸

شکل ۴-۲۹- نمودار متمایز کننده‌ی محیط تکتونیکی پیرس و کان، (Zr-Sr/2-Ti/100۱۹۷۳)	۱۰۹
شکل ۴-۳۰- روند تغییرات Zn، Pb و Cu سنگ میزان رگه‌ی کانه دار نسبت به نمونه‌ی سالم	۱۱۲
شکل ۴-۳۱- نمودار غنی شدگی و تهی شدگی عناصر در نمونه A10-1 نسبت به نمونه‌ی فرش-GH-82، احتمالاً غنی شدگی CaO و MnO و K2O در نتیجه دگرسانی کربناتی باشد.	۱۱۳
شکل ۴-۳۲- نمودار غنی شدگی و تهی شدگی عناصر در نمونه A10-1 نسبت به نمونه‌ی فرش	۱۱۳
شکل ۴-۳۳- نمودار غنی شدگی و تهی شدگی عناصر در نمونه A10-2 نسبت به نمونه‌ی فرش	۱۱۴
شکل ۴-۳۴- نمودار غنی شدگی و تهی شدگی عناصر در نمونه GH-68 نسبت به نمونه‌ی فرش	۱۱۴
شکل ۴-۳۵- نمودار غنی شدگی و تهی شدگی عناصر در نمونه GH-81 نسبت به نمونه‌ی فرش	۱۱۵
شکل ۴-۳۶- نمودار غنی شدگی و تهی شدگی عناصر در نمونه A-11 نسبت به نمونه‌ی فرش	۱۱۵
شکل ۴-۳۷- نمونه‌ی دستی از دگرسانی سریسیتیک در سنگ دیواره مربوط به رگه‌ها	۱۱۸
شکل ۴-۳۸- دگرسانی سریسیتی در حاشیه رگه‌ها	۱۱۸
شکل ۴-۳۹- گراف XRD، مشخص کننده دگرسانی سریسیتیک، کانی‌های شناسایی شده در این گراف شامل کوارتز، ارتوکلاز، سریسیت	۱۱۹
شکل ۴-۴۰- گراف XRD، مشخص کننده دگرسانی سریسیتیک، کانی‌های شناسایی شده در این گراف شامل کوارتز، سریسیت، ایلیت، کالکوپیریت	۱۲۰
شکل ۴-۴۱- گراف XRD، مشخص کننده دگرسانی سریسیتیک، کانی‌های شناسایی شده در این گراف، کوارتز، سریسیت و کالکوپیریت	۱۲۱
شکل ۴-۴۲- گراف XRD، مشخص کننده دگرسانی پروپیلیتیک، کانی‌های شناسایی شده در این گراف شامل کوارتز، پلازیوکلاز، سریسیت، لیزاردیت، کلریت، اوژیت، دیوپسید و کلسیت	۱۲۳
شکل ۴-۴۳- گراف XRD، مشخص کننده دگرسانی پروپیلیتیک، کانی‌های شناسایی شده در این گراف شامل کوارتز، پلازیوکلاز، آلبیت، کلریت، ناترولیت، دیوپسید، کلسیت	۱۲۴
شکل ۴-۴۴- گراف XRD مشخص کننده دگرسانی پروپیلیتیک(کلریتی)، کانی‌های شناسایی شده در این گراف شامل پلازیوکلاز، کلریت، سانیدین، آلبیت، دیوپسید، کلسیت و لانجیت	۱۲۵
شکل ۴-۴۵- گراف XRD، مشخص کننده دگرسانی سیلیسی، کانی‌های شناسایی شده در این گراف شامل کوارتز، آلبیت و سریسیت	۱۲۷
شکل ۴-۴۶- نمونه‌ای از دگرسانی آرژلیتی در تماس با کانه زایی گالن	۱۲۸
شکل ۴-۴۷- نمونه‌ای از دگرسانی آرژلیک و سیلیسی در سنگ دیواره رگه‌های کانه دار	۱۲۹
شکل ۴-۴۸- گراف XRD، مشخص کننده دگرسانی آرژلیک، کانی‌های شناسایی شده در این گراف شامل کوارتز، ایلیت و کلریت، لامونتیت، دیوپسید	۱۳۰
شکل ۴-۴۹- نمودار نتیجه آنالیز XRD از دگرسانی آرژلیک	۱۳۱
شکل ۴-۵۰- گراف XRD، با توجه به کانی‌ها، مشخص کننده دگرسانی کربناتی، کانی‌های شناسایی شده در این رگه شامل آرگونیت، کلسیت و کانی‌های سرب دار کربناتی	۱۳۳
شکل ۴-۵۱- نتایج آنالیز XRD بر روی ۱۰ نمونه در منطقه عباس‌آباد	۱۳۴
شکل ۴-۱- رگه‌های سیلیسی نوع اول با سنگ میزان بازالتی و دگرسانی سنگ دیواره از نوع سریسیتی	۱۳۹
شکل ۴-۲- رگه‌ی معدنی نوع اول در تونل حفاری شده با سنگ میزان بازالتی و دگرسانی سریسیتی و رنگ قهقهه‌ای به دلیل وجود اکسیدهای آهن	۱۳۹
شکل ۴-۳- رگه‌های معدنی که در اثر فرایندهای گرمابی، دچار دگرسانی آرژلیکی و سریسیتی	۱۴۰
شکل ۴-۴- کانی گالن به صورت پراکنده در رگه‌های سیلیس	۱۴۱

شکل ۵-۵-کانی گالن در رگه ای نوع ۱ در رگه های سیلیسی که به شدت تجزیه شده است.....	۱۴۱
شکل ۵-۶-گالن با تجزیه به کانی سروسیت و کلیواژ مثلثی گالن به همراه کالکوپیریت.....	۱۴۲
شکل ۵-۷-کالکوپیریت به صورت پراکنده در گانگ سیلیسی.....	۱۴۳
شکل ۵-۸-کالکوپیریت در حفره ها و فضاهای خالی سنگ میزبان سیلیسی در رگه ها.....	۱۴۳
شکل ۵-۹-کالکوپیریت در حال تجزیه به هیدروکسیدهای آهن در فضاهای خالی سنگ میزبان سیلیسی.....	۱۴۴
شکل ۵-۱۰-بورنیت با رنگ قهوه ای در کنار کالکوپیریت در رگه های معدنی نوع ۱ در کانسار عباس آباد.....	۱۴۵
شکل ۵-۱۱-کانی کولیت از تجزیه کالکوپیریت همراه با اکسیدهای آهن.....	۱۴۶
شکل ۵-۱۲-اکسیدهای آهن در نمونه های بخش اکسیدان کانسار.....	۱۴۷
شکل ۵-۱۳-نمونه دستی از کوارتز های موجود در رگه های نوع یک.....	۱۴۸
شکل ۵-۱۴-پارائز تقریبی کانی های سولفیدی هیپوزن و سوپرزن و اکسیدی همراه با گانگ در رگه های نوع یک کانسار عباس آباد.....	۱۴۹
شکل ۵-۱۵-رگه های سیلیسی همراه با کانی زایی مس و کانی های کالکوپیریت و ملاکیت در سنگ میزبان آندزیتی.....	۱۵۰
شکل ۵-۱۶-رگچه های داخل زون دگرسان در رگه های نوع دوم در کانسار عباس آباد.....	۱۵۱
شکل ۵-۱۷-زون دگرسانی در سنگ میزبان بازالتی همراه با کانی زایی سولفیدی دید به شرق.....	۱۵۱
شکل ۵-۱۸-نمونه ای از رگه های کانی سازی شده به همراه دگرسانی سنگ دیواره در امتداد زون گسله.....	۱۵۲
شکل ۵-۱۹-گالن به صورت بافت توده ای در رگه های کانه دار.....	۱۵۳
شکل ۵-۲۰-گالن با بافت توده ای کلیواژهای خمیده.....	۱۵۳
شکل ۵-۲۱-گالن به همراه کالکوپیریت(فاز قدیمی تر) و کانی ثانویه کولیت.....	۱۵۴
شکل ۵-۲۲-کانی گالن همراه با اسفالریت و کالکوپیریت در رگه های کانه دار سیلیسی.....	۱۵۵
شکل ۵-۲۳-اسفالریت همراه گالن در نمونه ی دستی.....	۱۵۷
شکل ۵-۲۴-تشکیل گالن و کالکوپیریت در شکستگی ها و کلیواژهای اسفالریت.....	۱۵۷
شکل ۵-۲۵-کانی اسفالریت همراه با گالن و تکه های کالکوپیریت در رگه های سیلیسی کانه دار.....	۱۵۸
شکل ۵-۲۶-کالکوپیریت در دو حالت پراکنده و توده ای شکل.....	۱۶۰
شکل ۵-۲۷-کالکوپیریت های پراکنده در زون دگرسان شده سریسیتی.....	۱۶۰
شکل ۵-۲۸-کالکوپیریت همراه با تکه های گالن و تنانیتی.....	۱۶۱
شکل ۵-۲۹-بلور های اولیه کالکوپیریت به همراه گالن.....	۱۶۱
شکل ۵-۳۰-کالکوپیریت و تجزیه آن به کانی های ثانویه(به احتمال زیاد هیدروکسیدهای آهن).....	۱۶۲
شکل ۵-۳۱-کالکوپیریت های تشکیل شده در زون دگرسان شده اطراف رگه ها.....	۱۶۲
شکل ۵-۳۲-قطع میکروسکوبی بورنیت به همراه کالکوپیریت و لیناریت.....	۱۶۳
شکل ۵-۳۳-کانی بورنیت همراه با گالن و کالکوپیریت.....	۱۶۴
شکل ۵-۳۴-قطع میکروسکوبی لیناریت به همراه بورنیت و کالکوپیریت.....	۱۶۵
شکل ۵-۳۵-لیناریت همراه با کانی های گالن و بورنیت.....	۱۶۵
شکل ۵-۳۶- تنانیتیت همراه با گالن و کالکوپیریت.....	۱۶۶
شکل ۵-۳۷-کانی تنانیتیت همراه با کانی های گالن و کالکوپیریت.....	۱۶۷
شکل ۵-۳۸- پیریت به دو صورت بی شکل و نیمه شکل دار در رگه های نوع دوم کانسار عباس آباد.....	۱۶۸
شکل ۵-۳۹-کوارتز نهان بلور با رنگ شیری در رگه های معدنی.....	۱۶۹

..... شکل ۴۰-۵-کوارتز های ثانویه در سنگ دیواره همراه با دگرسانی سریسیتی.	۱۷۰
..... شکل ۴۱-۵-قطع نازک تهیه شده از کوارتز همراه با کانی های کربناتی در نور کراس پولا.	۱۷۰
..... شکل ۴۲-۵-پاراژن تقریبی کانی های سولفیدی هیپوژن و سوپرژن و اکسیدی همراه با گانگ در رگه های نوع دو کانسار عباس آباد.	۱۷۱
..... شکل ۴۳-۵-نمونه ای از کانی سازی مس در حفره های سنگ های آندزیتی دگرسان شده.	۱۷۳
..... شکل ۴۴-۵-نمونه ای از کانی زایی مس در شکستگی های سنگ های آتشفسانی.	۱۷۳
..... شکل ۴۵-۵-کانی سازی نوع سوپرژن در سنگ های آندزیتی که دچار دگرسانی پروپیلیتی شده اند.	۱۷۴
..... شکل ۴۶-۵-کانی مس خالص همراه با کوپریت در نمونه دستی از بخش اکسیدان کانسار.	۱۷۵
..... شکل ۴۷-۵-پراکندگی و شکل دانه ای مس خالص با بافت پرکننده فضای خالی.	۱۷۵
..... شکل ۴۸-۵-مس خالص و کوپریت در مقاطع صیقلی.	۱۷۶
..... شکل ۴۹-۵-کوپریت همراه با مس خالص.	۱۷۷
..... شکل ۵۰-۵-کوپریت به همرا تکه های های بسیار ریز مس خالص.	۱۷۷
..... شکل ۵۱-۵-مالاکیت در نمونه دستی از بخش های سوپرژن کانسار عباس آباد.	۱۷۹
..... شکل ۵۲-۵-کانی ملاکیت در مقاطع صیقلی به همراه اکسیدهای آهن.	۱۷۹
..... شکل ۵۳-۵-پاراژن تقریبی کانی های موجود در کانی زایی حفره ای مس خالص در کانسار عباس آباد.	۱۸۰
..... شکل ۵۴-۵-مقایسه نسبت فراوانی عناصر اسفالریت در دخاییر رگه ای چاه مسی و عباس آباد.	۱۸۵
..... شکل ۵۵-۵-مقایسه فراوانی عناصر در تیپ های مختلف سرب و روی.	۱۸۸
..... شکل ۵۶-۵-مقایسه نسبت فراوانی Zn/ Cd در تیپ های مختلف.	۱۸۹
..... شکل ۵۷-۵-مقایسه میانگین نسبت فراوانی درصد عناصر اسفالریت در دخاییر رگه ای چاه مسی و عباس آباد.	۱۸۹
..... شکل ۵۸-۵-مقایسه میانگین نسبت فراوانی درصد عناصر کالکوپریت در دخاییر رگه ای چاه مسی و عباس آباد.	۱۹۰

..... شکل ۵۹-۵-همیستگی بین عناصر فرعی در کانسنگ ها رگه ای عباس آباد.	۲۰۷
..... ۶-نمودار T-logS ₂ برای سیستم Fe-Zn-S, برای ترکیب اسفالریت در تعادل با آهن.	۲۱۲
..... شکل ۶-۶-نمودار pH-LOG a _{O₂} در دمای ۲۵۰ درجه سانتیگراد سانتیگراد برای اکسیدها و سولفیدهای آهن که شامل کالکوپریت، پیریت، بورنیت، گالن، انگلزیت و میزان آهن جانشینی در اسفالریت.	۲۱۳
..... ۳-۶-نمودار LOG a _{S₂} -LOG a _{O₂} در دمای ۲۵۰ درجه سانتیگراد برای اکسیدها و سولفیدهای آهن که شامل کالکوپریت، پیریت، بورنیت، گالن، انگلزیت و میزان آهن جانشینی در اسفالریت.	۲۱۳
..... شکل ۶-۴-نمودار T-log fO ₂ در شرایط اکسایش و کاهش برای سیال های کانه دار.	۲۱۴
..... شکل ۶-۵-نمودار پایداری ترکیبات مس در دمای کمتر از دمای ۲۵ درجه.	۲۳۱

فصل اول

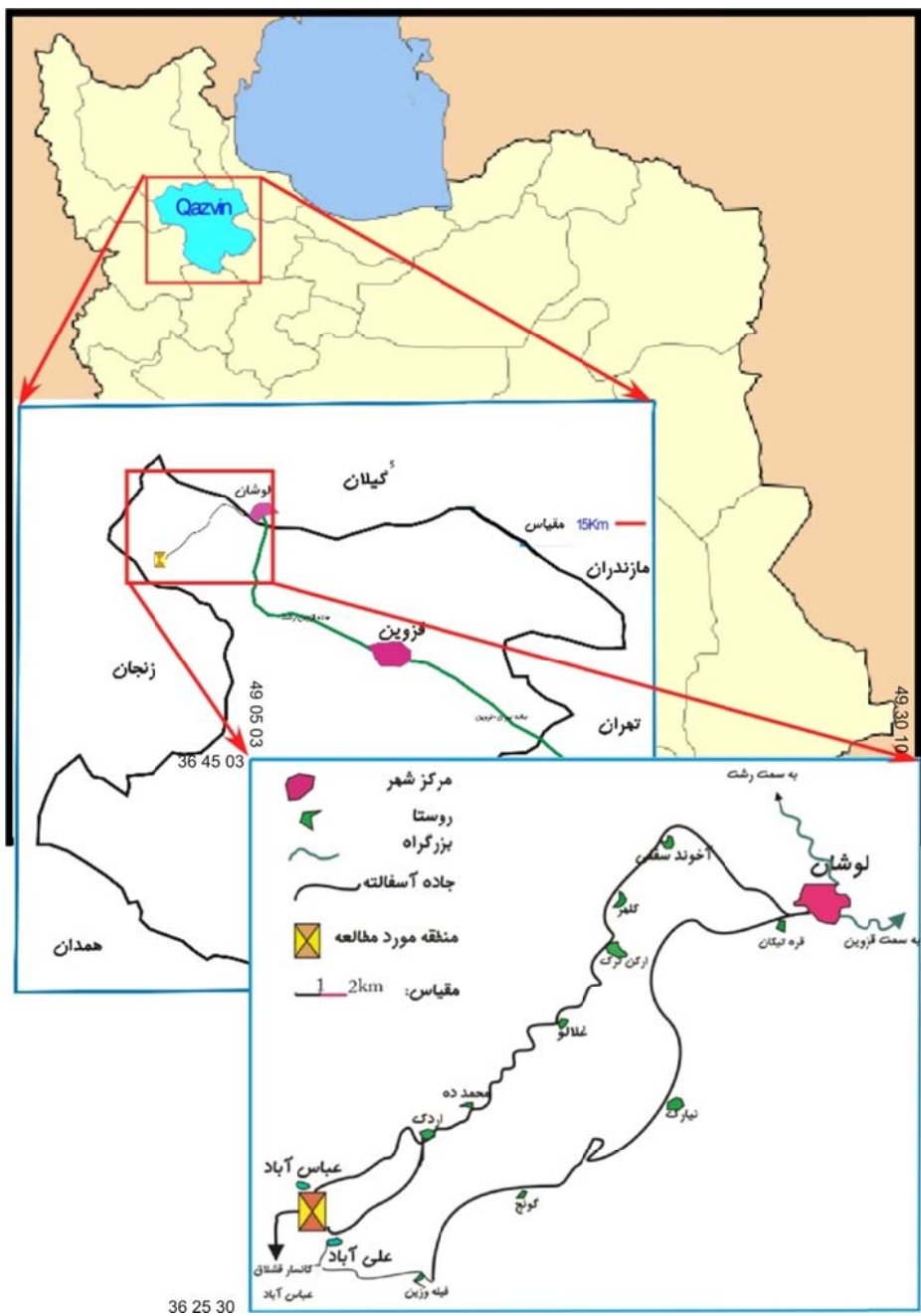
کلیات

۱-۱-مقدمه

سنگ‌های آتشفشاری سنوزوئیک ایران و بسیاری از مناطق دیگر دنیا، پتانسیل بالقوهای برای سیستم‌های کانی‌زایی رگه‌ای با فلزات پایه و گرانبهای محسوب می‌شوند (Heald et al, 1987). زون طارم در البرز باختری یکی از مناطق مستعد از نظر ذخایر معدنی سرب و مس است. در گستره ورقه طارم کانسارهای مس از دیر باز مورد توجه معدن‌کاران بوده‌اند. گسترش وسیع آثار معدن‌کاری مس، سرب و روی بصورت حفر دخمه، گودال و ترانشه در امتداد رگه‌های سیلیسی دارای کانسارهای مس، سرب و روی موجود در سنگ‌های نفوذی و آتشفشاری نشان از گسترش و اهمیت معدن‌کاری مس، سرب و روی در این منطقه دارد. همین موضوع اهمیت مطالعه و بررسی بیشتر ذخایر مربوط به این زون را نشان می‌دهد. در این پایان نامه سعی بر این بوده است که به بررسی ژنر کانی زایی، شناسایی کانی‌ها و شیمی کانی‌ها پرداخته شود، تا عاملی برای شناخت و شناسایی بهتر و دقیق‌تر این ذخایر باشد و این امر کمکی برای اکتشاف بیشتر ذخایر مربوط به این زون و مناطق دیگر باشد.

۱-۲-موقعیت جغرافیایی:

محدوده مورد مطالعه در شمال باختر کشور، شمال باختری استان قزوین (شکل ۱-۱) و در دامنه‌های جنوبی رشته کوه البرز واقع شده است. از نظر مختصات جغرافیایی کانسار عباس آباد، در عرض "۵۹'۰۷" و طول "۳۵'۳۵" می‌باشد منطقه مورد مطالعه در بخشی از رشته کوه البرز که طارم سفلی نامیده می‌شود قرار گرفته است. رشته کوه‌های طارم به موازات رشته کوه‌های البرز و در قسمت باختری آن واقع شده و دارای روند کلی شمال باختری - جنوب خاوری می‌باشد. کانسار قشلاق عباس آباد در حدود ۱۳۵ کیلومتری شمال باختری شهرستان قزوین قرار دارد. مناسب‌ترین راه برای دسترسی به محدوده اکتشافی، استفاده از جاده قزوین - رشت می‌باشد. برای این منظور پس از رسیدن به لوشان باید از ابتدای این شهر به سمت باختر وارد جاده آسفالت لوشان - سیردان شد، سپس از روستای میرخوند علیا به سمت جنوب باختر و مقصد روستای عباس آباد با طی ۶۳ کیلومتر می‌توان رسید. روستاهایی که در این مسیر قرار دارند در شکل (۱-۱) مشخص شده است و روستای عباس آباد در فاصله ۵/۷ کیلومتری غرب کانسار عباس آباد است و نزدیک‌ترین مرکز تجمع انسانی به محدوده مورد مطالعه می‌باشد.



شکل ۱-۱- موقعیت جغرافیایی و راههای دسترسی به کانسار عباس آباد.